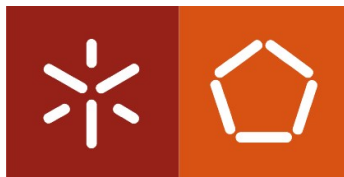


BINARY CLASSIFICATION
WITH QUANTUM VARIATIONAL CIRCUIT
Quantum Machine Learning

Márcio Mano
Pedro Teixeira
Master in Physics Engineering

Professors:
Luís Paulo Santos
André Sequeira



Universidade do Minho

Contents

1	Introduction	1
2	Overview	1
2.1	Objectives with this project	1
3	<i>Data Set</i>	2
3.1	<i>Wine Quality</i> Data Set	2
3.1.1	Data points features	2
3.1.2	Classes	2
4	Data pre-processing and Encoding	2
4.1	Data pre-processing	2
4.2	Data Encoding	3
5	Parameterized Model	3
6	Circuit Measurements	3
7	Cost Function	4
8	Optimization Techniques	4
9	Results	4
9.1	Noiseless Simulation	4
9.1.1	2 Qubits	4
9.1.2	3 Qubits	6
9.1.3	4 Qubits	7
9.2	Simulation with Noise	8
9.2.1	2 Qubits	8
9.3	Graphs	10
9.3.1	Noiseless Simulation	10
9.3.2	Simulation With Noise	11
10	Conclusion	11

1 Introduction

O foco deste trabalho é a construção de um circuito variacional quântico capaz de classificar dados clássicos. Dito isto, o nosso sistema será então constituído por uma parte quântica e uma parte clássica.

- Na parte quântica (circuito quântico) temos um bloco responsável pelo *encoding/embedding*, um bloco responsável pelo algoritmo variacional e blocos de medição;
- Na parte clássica temos o pós-processamento (associa as medições a rótulos), o cálculo da *loss function* e o otimizador dos parâmetros variacionais (θ) Fig.1, também poder ser preciso, em alguns casos, um pré-processamento especial (clássico), como a redução da dimensionalidade do *data set* através das técnicas de *PCA*[1].

Estas duas primeiras partes (circuito quântico e pós-processamento) ficam conectados em *loop* criando assim um sistema híbrido entre a computação quântica e computação clássica, podemos observar na Fig.1 um exemplo genérico desse *loop*.

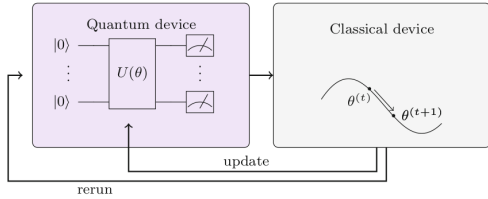


Figure 1: Exemplo de sistema híbrido[2]

$$norm = \sum_i (x_i)^2 \quad (1)$$

$$\tilde{x} = \frac{x}{\sqrt{norm}} \quad (2)$$

2 Overview

Passos para a criação do nosso sistema:

1. **Data Set:** Definir o conjunto de dados a utilizar;
Posteriormente esse conjunto de dados será dividido em dois subconjuntos, um subconjunto de treino e um subconjunto de teste. Normalmente em problemas de *machine learning* clássicos o conjunto de dados de teste tem cerca de 30% do tamanho do conjunto de dados de treino[3].
2. **Embedding/Encoding:** Definir o tipo de codificação a utilizar;

De modo a transformar os dados clássicos do nosso conjunto de dados em estados quânticos, para serem posteriormente processados por uma máquina quântica;

3. **Parameterized Model:** Aplicar um modelo parametrizado;
4. **Circuit Measurements:** Medição do circuito para extrair as *labels*;
5. **Optimization Techniques:** Usar técnicas de otimização para encontrar os melhores parâmetros para o sistema parametrizado, de modo a encontrarmos padrões dentro do nosso conjunto de dados.

2.1 Objectives with this project

Estes foram os objetivos a que nos propusemos a cumprir numa primeira abordagem ao problema:

- Utilizar os computadores quânticos disponibilizados pela **IBM**[4] para correr o nosso sistema;
- Verificar a influência do atributo subjetivo (*quality*) tem no nosso classificador;
- Encontrar os pontos de *underfitting* e *overfitting* do nosso sistema;
- Comparar os nossos resultados experimentais com os resultados experimentais apresentados em[5];

Infelizmente não conseguimos realizar com sucesso todos os objetivos que propusemos numa primeira instância, contudo ao longo do desenvolvimento do trabalho, fomos pensando em alternativas a estes objetivos.

Um dos objetivos onde tivemos pouco sucesso, foi no de tentar correr o nosso classificador nas máquinas quânticas disponibilizadas ao público pela **IBM**, isto, pois ao tentar aceder à máquina quântica iterativamente, ou seja, correr os nossos circuitos a cada iteração do otimizador obriga nos a esperar em *queue* (onde o tempo de espera podem facilmente chegar aos 10 minutos) cada vez que precisamos de testar os novos parâmetros variacionais retornados pelo otimizador (Fig.1) o que faz com que o processo de treino possa levar dias até ser concluído.

A outra abordagem que tentamos foi usar o *TorchRunTime*[6] para tentar correr a parte de otimização nos servidores da IBM, fazendo com que não tenhamos de ficar à espera na *queue* a cada iteração do otimizador, contudo esta abordagem possui as suas desvantagens, como o tempo máximo de execução de 8 horas (segundo o *site* da IBM[7]), fazendo com que o número

máximo de iterações do otimizador com que nós conseguimos trabalhar seja 25 iterações o que é muito pouco se pretendemos retirar alguma conclusão sobre os nossos resultados.

```
train execution time: 11498.90387415886
id: cafnv75toase3u9lgiug
execution time: 159.3931486606598
score: 0.4583333333333333
```

Figure 2: Tempo de execução para apenas 20 épocas

Como podemos ver o servidor da IBM demorou mais de 3 horas para fazer um treino com apenas 20 épocas.

Portanto, como alternativa a este problema decidimos implementar um ambiente de simulação onde usamos o ruído de uma máquina quântica (*IBMQ Manilla*[8]), para simular um uso mais realista de uma máquina quântica.

Outro objetivo apresentado na primeira avaliação do projeto era verificar a influência da *feature* qualidade na classificação e após testar classificar o nosso *data set* com a *feature* incluída e compara com a situação em que a *feature* não é tida em consideração podemos verificar que o uso da mesma não mostrou nenhuma mudança significativa.

Outro objetivo onde não tivemos sucesso, foi no de encontrar os pontos de *overfitting* e *underfitting* pois inicialmente acreditávamos que seria uma análise mais fácil do que é, contudo, como alternativa, tentamos usar um número elevado de *data points* para fazer a classificação, como forma de otimizar o tempo de execução decidimos testar para apenas 2 *qubits*, contudo, esta tentativa de classificação não nos gerou bons resultados e devido ao elevado tempo de execução não conseguimos repeti-lo vezes o suficiente para conseguirmos tirar algum tipo de ilação.

Infelizmente apesar de no *paper*[5] ser mencionado que eles usam um *data set* de vinho português, o que nos fez acreditar que estávamos a usar o mesmo *data set*, provou não ser o caso, pois após uma leitura mais cuidada podemos reparar que o *data set* utilizado no *paper* em questão é sobre vinhos do norte da Itália e não sobre vinhos portugueses, contudo, apesar de termos usados diferentes *data set* tentaremos à mesma comparar resultados, tendo em consciência de que apesar de serem problemas parecidos, os *data sets* em questão são completamente distintos.

3 Data Set

3.1 Wine Quality Data Set

O *data set* selecionado pode ser encontrado no *link* seguinte[9].

Este *data set* está dividido em dois *data sets*, um *data set* associado a vinho verde tinto e outro *data set* associado ao vinho verde branco, ambos os vinhos com origem no norte de Portugal.

O nosso objetivo é usar os dois *data sets* como um só, isto é, juntaremos os dois *data sets* de modo que ao retirar um *data point*, da junção dos dois *data sets*, ao mesmo será associado um *label* de "vinho verde tinto" ou "vinho verde branco" dependendo do *data set* original ao qual pertenciam, ou seja, com este *data set* pretendemos fazer um **Classificador Binário** que consiga diferenciar "vinho verde tinto" de "vinho verde branco" tendo apenas a informação disponível na subsecção seguinte.

3.1.1 Data points features

- | | |
|------------------------|----------------------------------|
| 1. fixed acidity | 7. total sulfur dioxide |
| 2. volatile acidity | 8. density |
| 3. citric acid | 9. pH |
| 4. residual sugar | 10. sulphates |
| 5. chlorides | 11. alcohol |
| 6. free sulfur dioxide | 12. quality (atributo subjetivo) |

3.1.2 Classes

Evidentemente a primeira diferença que nos vem à cabeça quando pensamos em vinho branco e vinho tinto é a cor, contudo, a real diferença advém do modo como é feito daí provém a cor[10].

- Vinho Tinto têm 1599 *data points* associados;
 - Mais álcool;
 - Menos açúcar.
- Vinho Branco têm 4898 *data points* associados.
 - Menos álcool;
 - Mais açúcar.

4 Data pre-processing and Encoding

4.1 Data pre-processing

Antes de podermos usar os nossos dados como *inputs* de um circuito quântico temos de realizar algum pré-processamento, como a normalização do *data set* e em alguns casos a redução da dimensionalidade do próprio *data set*.

Para tentar enquadrar a dimensão do nosso *data set* com as limitações presentes nas máquinas quânticas (como o número de *qubits*), tivemos que procurar por formas de reduzir a dimensionalidade como as técnicas de *Principal Component Analysis* (PCA), esta técnica é conhecida por identificar as componentes principais dos nossos dados reduzindo assim a dimensão, sem muita perda de informação importante[1].

4.2 Data Encoding

Para o *encoding* do nosso conjunto de dados usamos duas diferentes abordagens:

1. Amplitude Encoding;

Com esta técnica pretendemos dar *encode* dos nossos dados nas amplitudes de um estado quântico por isso, temos que normalizar os nossos dados para que a soma do quadrado das *features* seja igual a 1, é de notar que o nosso *data set* tem 12 *features* e como não é uma potência de 2 teremos que fazer *padding* ao resto das amplitudes do estado quântico, nos casos em que usemos o PCA, se o número de componentes não for uma potência de 2 também que teremos de aplicar um *padding*.

$$|\psi_x\rangle = \sum_{i=0}^{N-1} x_i |i\rangle \quad (3)$$

2. Feature Map

Para usarmos este tipo de encoding, temos primeiro que aplicar uma técnica de PCA, pois fazer otimizações com 13 *qubits* iriam ser precisas muitas épocas de treino (o número de parâmetros variacionais aumenta com o número de *qubits*), já para não falar que o processo de otimização ia ser mais lento do que para um número inferior de *qubits*, lembrando que para este *encoding*, o número de *qubits* é igual ao número de *faeatures*. Os inputs para este tipo de *encoding* são ângulos por isso temos que garantir que cada *feature* se encontra normalizada entre $[-\pi, \pi]$.

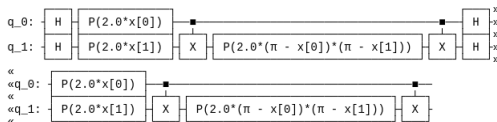


Figure 3: Para 2 *qubits* e 2 repetições

Ao usarmos estes 2 *encodes* diferentes temos como objetivo observar as diferenças de cada um. Uma das primeiras diferenças com que nos deparamos é o tempo de execução associado ao

treino dos parâmetros (θ), onde podemos concluir que ao usar o *amplitude encoding* o treino dos parâmetros pode demorar duas vezes mais do que usando *ZZ Feature Map*

5 Parameterized Model

Para este trabalho usaremos como *ansatz* (circuito parameterizado) o seguinte circuito:

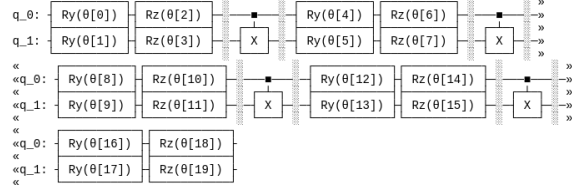


Figure 4: Hardware efficient SU(2) 2-local circuit, para 2 *qubits* com 4 repeticoes

A escolha deste *ansatz* é simplesmente explicada pelo facto de este ser o circuito variacional melhor otimizado para ser corrido em *hardware* quântico.

6 Circuit Measurements

Em problemas de classificação binária é usual utilizarmos métodos de medição e classificação, estes métodos permitem atribuir uma *label*/classe à medida que realizamos as medições. Neste projeto utilizamos dois métodos para realizar tal tarefa:

• Parity post-processing:

Ao medir todos os *qubits* do nosso sistema na base computacional obteremos uma *string* binária (p.e 101000111010) o tamanho da *string* será igual ao número de *qubits* e basicamente o que fazemos é verificar a paridade da nossa *string* binária, isto é, contamos o número de 1s. Quando esse número for par associamos a uma classe, quando for impar associamos à outra classe.

• Expected value of the Pauli string $\langle \sigma_z \otimes \dots \otimes \sigma_z \rangle$:

Neste *encoding* medimos todos os *qubits* e extraímos o valor da string de pauli que é dado pela seguinte fórmula:

$$\sum_{i=0}^{2^n-1} (-1)^{H(i) \bmod 2} P_i$$

Onde $H(i)$ e $P(i)$ são o *Hamming weight* e a probabilidade do estado $|i\rangle$ respetivamente, se o valor expetável for positivo associamos a uma classe, quando for negativo associamos à outra classe.

7 Cost Function

Como recorreremos a duas formas diferentes de fazer o *circuit measurement* teremos que usar duas *cost function* diferentes:

- Mean Squared Error (MSE) para o *expected value of the Pauli string*

$$C(\theta) = \frac{1}{N} \sum_{i=1}^N (f(x_i, \theta) - y^{truth})^2$$

- Cross Entropy (CE) para o *parity post-processing*

$$C(\theta) = \frac{1}{N} \sum_{i=1}^N y^{truth} \ln(f(x_i, \theta))$$

9 Results

Para uma melhor compreensão dos resultados obtidos foi utilizado uma metrica denominada "matriz de confusão", a mesmo é uma tabela que permite visualizar o desempenho do nosso algoritmo de classificação após terminar a sua tarefa.

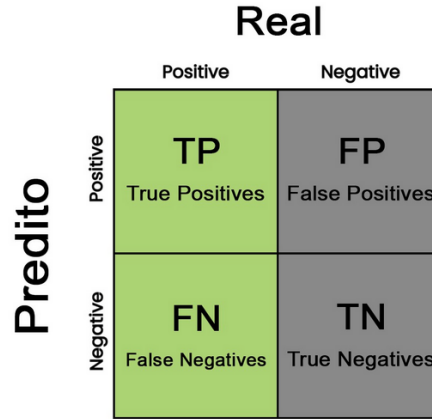


Figure 5: Diagrama da tabela de confusão.

9.1 Noiseless Simulation

9.1.1 2 Qubits

Qubits	Ansatz depth	epochs	shots	Acc (on training)	Acc (on testing)
2	4	200	1024	70.00 %	27.7(7) %
2	4	400	1024	65.5(6) %	22.2(2) %
2	4	600	1024	69.4(4) %	24.07 %
2	4	800	1024	69.4(4) %	31.48 %
2	4	1000	1024	71.1(1) %	25.92 %

Table 1: Cross Entropy (Cost Function) & Amplitude Encoding

8 Optimization Techniques

Como técnica de otimização optamos por usar um otimizador clássico chamado **SPSA**, que se encontra definido no *qiskit*, existem vários motivos que justificam a nossa escolha de otimizador, um dos motivos é proveniente dos vários testes usando outros otimizadores como o *GradientDescent*, *QNPSA* e o *ADAM*, sendo que o *SPSA* foi o otimizador para o qual conseguimos obter melhores resultados, outro motivo pelo qual o escolhemos foi o facto de ter sido o otimizador usado num problema de classificação parecido com o nosso[5], contudo no nosso possuímos, em alguns casos, problemas de maior dimensionalidade do que aqueles que foram abordados no *paper*.

200		400		600		800		1000	
7	19	5	20	8	20	7	20	7	20
20	8	22	7	19	7	20	7	20	7

Table 2: Matrizes de confusão.

Qubits	Ansatz depth	Feature Map depth	epochs	shots	Acc (on training)	Acc (on testing)
2	4	2	200	1024	69.4(4) %	66.6(6) %
2	4	2	400	1024	69.4(4) %	62.96 %
2	4	2	600	1024	70.00 %	91.1(2) %
2	4	2	800	1024	71.1(1) %	61.1(2) %
2	4	2	1000	1024	71.1(1) %	64.81 %

Table 3: Cross Entropy (Cost Function) & ZZFeatureMap

200		400		600		800		1000	
19	10	18	12	19	12	20	14	19	10
8	17	9	15	8	15	7	13	8	17

Table 4: Matrizes de confusão.

Qubits	Ansatz depth	epochs	shots	Acc (on training)	Acc (on testing)
2	4	200	1024	68.33 %	37.04 %
2	4	400	1024	66.6(6) %	33.3(3) %
2	4	600	1024	67.7(7) %	35.19 %
2	4	800	1024	67.7(7) %	37.04 %
2	4	1000	1024	67.7(7) %	35.19 %

Table 5: Mean Square Error (Cost Function) & Amplitude Encoding

200		400		600		800		1000	
9	14	9	15	8	16	8	16	8	16
18	13	18	12	19	11	19	11	19	11

Table 6: Matrizes de confusão.

Qubits	Ansatz depth	Feature Map depth	epochs	shots	Acc (on training)	Acc (on testing)
2	4	2	200	1024	72.7(7) %	66.6(6) %
2	4	2	400	1024	72.2(2) %	66.6(6) %
2	4	2	600	1024	74.4(5) %	66.6(6) %
2	4	2	800	1024	72.2(2) %	68.5(2) %
2	4	2	1000	1024	72.2(2) %	66.6(6) %

Table 7: Mean Square Error (Cost Function) & ZZFeatureMap

200		400		600		800		1000	
19	8	17	7	18	7	19	8	17	7
8	19	10	20	9	20	8	19	10	20

Table 8: Matrizes de confusão.

9.1.2 3 Qubits

Qubits	Ansatz depth	epochs	shots	Acc (on training)	Acc (on testing)
3	4	200	1024	78.8(8) %	37.04 %
3	4	400	1024	78.3(3) %	33.3(3) %
3	4	600	1024	79.4(4) %	37.04 %
3	4	800	1024	80.5(5) %	35.18 %
3	4	1000	1024	78.3(3) %	42.59 %

Table 9: Cross Entropy (Cost Function) & Amplitude Encoding

200	400	600	800	1000
$\begin{bmatrix} 12 & 19 \\ 15 & 8 \end{bmatrix}$	$\begin{bmatrix} 7 & 17 \\ 20 & 10 \end{bmatrix}$	$\begin{bmatrix} 9 & 18 \\ 18 & 9 \end{bmatrix}$	$\begin{bmatrix} 11 & 18 \\ 16 & 9 \end{bmatrix}$	$\begin{bmatrix} 14 & 19 \\ 13 & 8 \end{bmatrix}$

Table 10: Matrizes de confusão.

Qubits	Ansatz depth	Feature Map depth	epochs	shots	Acc (on training)	Acc (on testing)
3	4	2	200	1024	70.5(5) %	57.41 %
3	4	2	400	1024	73.8(8) %	53.70 %
3	4	2	600	1024	70.5(5) %	61.1(1) %
3	4	2	800	1024	72.2(2) %	59.26%
3	4	2	1000	1024	71.1(1) %	61.1(1) %

Table 11: Cross Entropy (Cost Function) & ZZFeatureMap

200	400	600	800	1000
$\begin{bmatrix} 17 & 15 \\ 10 & 12 \end{bmatrix}$	$\begin{bmatrix} 19 & 16 \\ 8 & 11 \end{bmatrix}$	$\begin{bmatrix} 20 & 15 \\ 7 & 12 \end{bmatrix}$	$\begin{bmatrix} 21 & 16 \\ 6 & 11 \end{bmatrix}$	$\begin{bmatrix} 19 & 13 \\ 8 & 14 \end{bmatrix}$

Table 12: Matrizes de confusão.

Qubits	Ansatz depth	epochs	shots	Acc (on training)	Acc (on testing)
3	4	200	1024	83.8(8) %	40.74 %
3	4	400	1024	79.4(4) %	35.19 %
3	4	600	1024	81.1(1) %	35.19 %
3	4	800	1024	80.00 %	33.3(3) %
3	4	1000	1024	82.2(2) %	38.8(8) %

Table 13: Mean Square Error (Cost Function) & Amplitude Encoding

200	400	600	800	1000
$\begin{bmatrix} 11 & 17 \\ 16 & 10 \end{bmatrix}$	$\begin{bmatrix} 9 & 19 \\ 18 & 8 \end{bmatrix}$	$\begin{bmatrix} 9 & 19 \\ 18 & 8 \end{bmatrix}$	$\begin{bmatrix} 9 & 19 \\ 18 & 8 \end{bmatrix}$	$\begin{bmatrix} 10 & 16 \\ 17 & 11 \end{bmatrix}$

Table 14: Matrizes de confusão.

Qubits	Ansatz depth	Feature Map depth	epochs	shots	Acc (on training)	Acc (on testing)
3	4	2	200	1024	71.6(7) %	51.85 %
3	4	2	400	1024	73.8(8) %	55.5(5) %
3	4	2	600	1024	71.6(7) %	64.81 %
3	4	2	800	1024	71.1(6) %	53.7(0) %
3	4	2	1000	1024	73.3(3) %	57.41 %

Table 15: Mean Square Error (Cost Function) & ZZFeatureMap

200	400	600	800	1000
$\begin{bmatrix} 9 & 8 \\ 18 & 19 \end{bmatrix}$	$\begin{bmatrix} 11 & 8 \\ 16 & 19 \end{bmatrix}$	$\begin{bmatrix} 14 & 7 \\ 13 & 20 \end{bmatrix}$	$\begin{bmatrix} 9 & 8 \\ 18 & 19 \end{bmatrix}$	$\begin{bmatrix} 11 & 7 \\ 16 & 20 \end{bmatrix}$

Table 16: Matrices de confusão.

9.1.3 4 Qubits

Qubits	Ansatz depth	epochs	shots	Acc (on training)	Acc (on testing)
4	4	200	1024	77.2(2) %	79.63 %
4	4	400	1024	76.1(1) %	70.37 %
4	4	600	1024	79.4(4) %	74.07 %
4	4	800	1024	77.7(8) %	77.7(8) %
4	4	1000	1024	81.6(7) %	83.3(4) %

Table 17: Cross Entropy (Cost Function) & Amplitude Encoding

200	400	600	800	1000
$\begin{bmatrix} 17 & 5 \\ 10 & 22 \end{bmatrix}$	$\begin{bmatrix} 9 & 19 \\ 18 & 8 \end{bmatrix}$	$\begin{bmatrix} 21 & 5 \\ 6 & 22 \end{bmatrix}$	$\begin{bmatrix} 19 & 3 \\ 8 & 24 \end{bmatrix}$	$\begin{bmatrix} 21 & 6 \\ 6 & 21 \end{bmatrix}$

Table 18: Matrices de confusão.

Qubits	Ansatz depth	Feature Map depth	epochs	shots	Acc (on training)	Acc (on testing)
4	4	2	200	1024	71.6(7) %	51.85 %
4	4	2	400	1024	73.8(8) %	55.5(5) %
4	4	2	600	1024	71.6(7) %	64.81 %
4	4	2	800	1024	71.1(6) %	53.7(0) %
4	4	2	1000	1024	73.3(3) %	57.41 %

Table 19: Cross Entropy (Cost Function) & ZZFeatureMap

200	400	600	800	1000
$\begin{bmatrix} 9 & 8 \\ 18 & 19 \end{bmatrix}$	$\begin{bmatrix} 11 & 8 \\ 16 & 19 \end{bmatrix}$	$\begin{bmatrix} 14 & 7 \\ 13 & 20 \end{bmatrix}$	$\begin{bmatrix} 9 & 8 \\ 18 & 19 \end{bmatrix}$	$\begin{bmatrix} 11 & 7 \\ 16 & 20 \end{bmatrix}$

Table 20: Matrices de confusão.

Qubits	Ansatz depth	epochs	shots	Acc (on training)	Acc (on testing)
4	4	200	1024	76.6(7) %	79.63 %
4	4	400	1024	78.3(3) %	81.48 %
4	4	600	1024	82.7(7) %	75.92 %
4	4	800	1024	78.8(9) %	81.48 %
4	4	1000	1024	77.7(7) %	81.48 %

Table 21: Mean Square Error (Cost Function) & Amplitude Encoding

200	400	600	800	1000
$\begin{bmatrix} 21 & 6 \\ 6 & 21 \end{bmatrix}$	$\begin{bmatrix} 25 & 9 \\ 2 & 18 \end{bmatrix}$	$\begin{bmatrix} 22 & 9 \\ 5 & 18 \end{bmatrix}$	$\begin{bmatrix} 22 & 5 \\ 5 & 22 \end{bmatrix}$	$\begin{bmatrix} 22 & 4 \\ 5 & 23 \end{bmatrix}$

Table 22: Matrizes de confusão.

Qubits	Ansatz depth	Feature Map depth	epochs	shots	Acc (on training)	Acc (on testing)
4	4	2	200	1024	76.6(7) %	37.04 %
4	4	2	400	1024	73.8(9) %	37.0(4) %
4	4	2	600	1024	73.8(9) %	37.04 %
4	4	2	800	1024	76.1(1) %	40.74 %
4	4	2	1000	1024	70.00 %	31.48 %

Table 23: Mean Square Error (Cost Function) & ZZFeatureMap

200	400	600	800	1000
$\begin{bmatrix} 7 & 13 \\ 20 & 14 \end{bmatrix}$	$\begin{bmatrix} 5 & 12 \\ 22 & 15 \end{bmatrix}$	$\begin{bmatrix} 7 & 15 \\ 20 & 12 \end{bmatrix}$	$\begin{bmatrix} 7 & 14 \\ 20 & 13 \end{bmatrix}$	$\begin{bmatrix} 7 & 16 \\ 20 & 11 \end{bmatrix}$

Table 24: Matrizes de confusão.

9.2 Simulation with Noise

9.2.1 2 Qubits

Qubits	Ansatz depth	epochs	shots	Acc (on training)	Acc (on testing)
2	4	200	1024	68.3(3) %	35.19 %
2	4	400	1024	68.8(8) %	35.19 %
2	4	600	1024	70.00 %	37.04 %
2	4	800	1024	70.00 %	40.74 %
2	4	1000	1024	70.00 %	35.19 %

Table 25: Cross Entropy (Cost Function) & Amplitude Encoding

200	400	600	800	1000
$\begin{bmatrix} 10 & 15 \\ 17 & 12 \end{bmatrix}$	$\begin{bmatrix} 9 & 16 \\ 18 & 11 \end{bmatrix}$	$\begin{bmatrix} 9 & 16 \\ 18 & 11 \end{bmatrix}$	$\begin{bmatrix} 9 & 16 \\ 18 & 11 \end{bmatrix}$	$\begin{bmatrix} 8 & 15 \\ 19 & 12 \end{bmatrix}$

Table 26: Matrizes de confusão.

Qubits	Ansatz depth	Feature Map depth	epochs	shots	Acc (on training)	Acc (on testing)
2	4	2	200	1024	67.2(2) %	35.19 %
2	4	2	400	1024	64.4(5) %	38.8(9) %
2	4	2	600	1024	63.8(8) %	42.59 %
2	4	2	800	1024	66.1(1) %	38.8(8) %
2	4	2	1000	1024	64.4(5) %	42.59 %

Table 27: Cross Entropy (Cost Function) & ZZFeatureMap

200	400	600	800	1000
$\begin{bmatrix} 6 & 13 \\ 21 & 14 \end{bmatrix}$	$\begin{bmatrix} 6 & 12 \\ 21 & 15 \end{bmatrix}$	$\begin{bmatrix} 6 & 9 \\ 21 & 18 \end{bmatrix}$	$\begin{bmatrix} 6 & 12 \\ 21 & 15 \end{bmatrix}$	$\begin{bmatrix} 6 & 9 \\ 21 & 18 \end{bmatrix}$

Table 28: Matrizes de confusão.

Qubits	Ansatz depth	epochs	shots	Acc (on training)	Acc (on testing)
2	4	200	1024	68.8(9) %	38.8(9) %
2	4	400	1024	67.7(8) %	35.18 %
2	4	600	1024	67.7(8) %	37.04 %
2	4	800	1024	68.3(3) %	38.8(9) %
2	4	1000	1024	69.4(4) %	37.04 %

Table 29: Mean Square Error (Cost Function) & Amplitude Encoding

200	400	600	800	1000
$\begin{bmatrix} 9 & 15 \\ 18 & 12 \end{bmatrix}$	$\begin{bmatrix} 10 & 16 \\ 17 & 11 \end{bmatrix}$	$\begin{bmatrix} 8 & 15 \\ 19 & 12 \end{bmatrix}$	$\begin{bmatrix} 10 & 16 \\ 17 & 11 \end{bmatrix}$	$\begin{bmatrix} 8 & 17 \\ 19 & 10 \end{bmatrix}$

Table 30: Matrizes de confusão.

Qubits	Ansatz depth	Feature Map depth	epochs	shots	Acc (on training)	Acc (on testing)
2	4	2	200	1024	66.6(6) %	42.59 %
2	4	2	400	1024	65.5(6) %	42.92 %
2	4	2	600	1024	66.1(1) %	38.8(9) %
2	4	2	800	1024	63.8(8) %	40.74 %
2	4	2	1000	1024	64.4(5) %	40.74 %

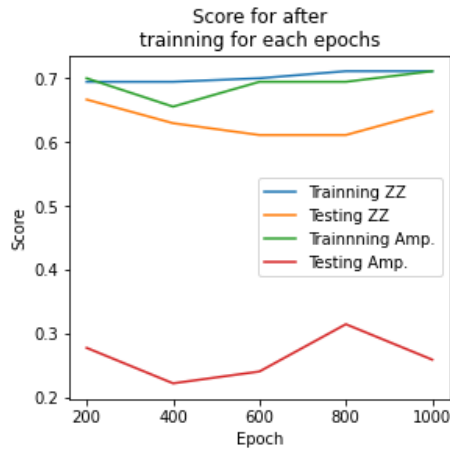
Table 31: Mean Square Error (Cost Function) & ZZFeatureMap

200	400	600	800	1000
$\begin{bmatrix} 6 & 10 \\ 21 & 17 \end{bmatrix}$	$\begin{bmatrix} 6 & 10 \\ 21 & 17 \end{bmatrix}$	$\begin{bmatrix} 6 & 12 \\ 21 & 15 \end{bmatrix}$	$\begin{bmatrix} 6 & 12 \\ 21 & 15 \end{bmatrix}$	$\begin{bmatrix} 6 & 12 \\ 21 & 15 \end{bmatrix}$

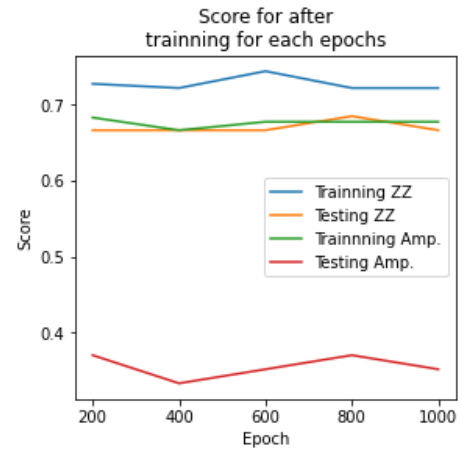
Table 32: Matrizes de confusão.

9.3 Graphs

9.3.1 Noiseless Simulation

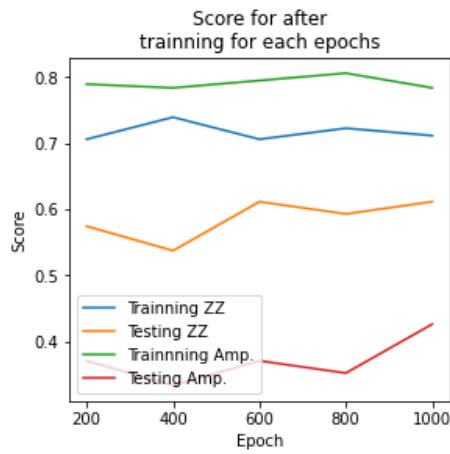


(a) *Cross Entropy Cost Function*

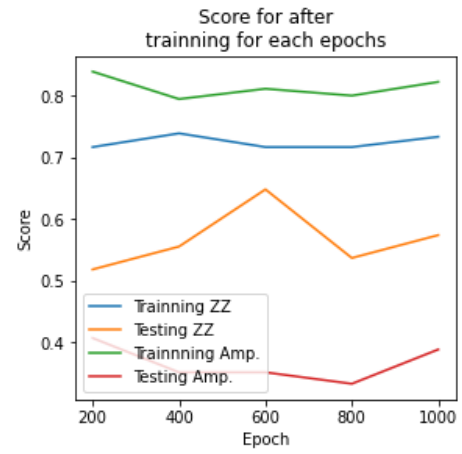


(b) *Mean Squared Error Cost Function*

Figure 6: Valores de acc para 2 *qubits*

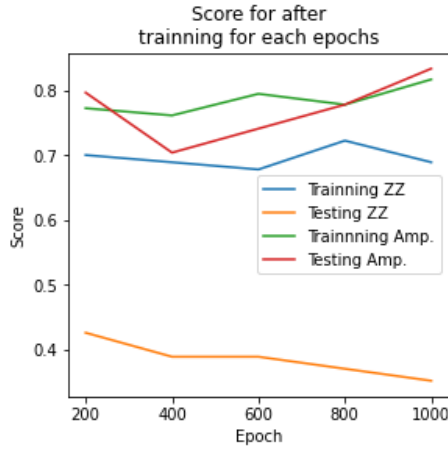


(a) *Cross Entropy Cost Function*

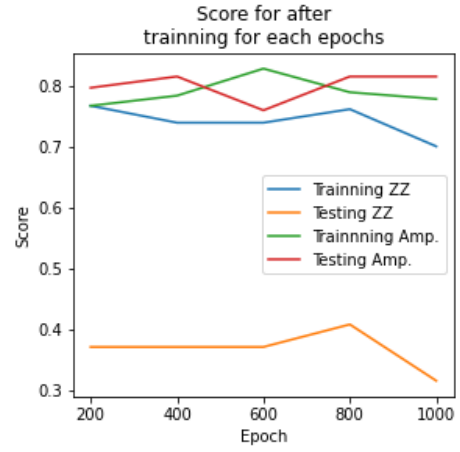


(b) *Mean Squared Error Cost Function*

Figure 7: Valores de acc para 3 *qubits*



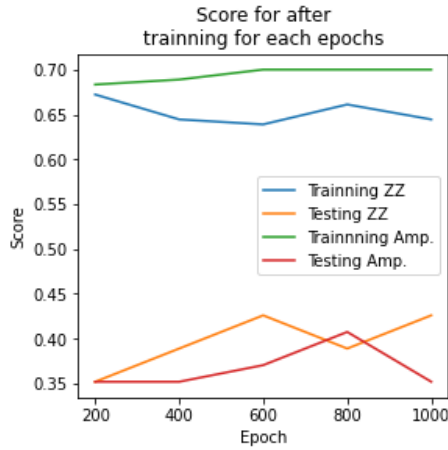
(a) Cross Entropy Cost Function



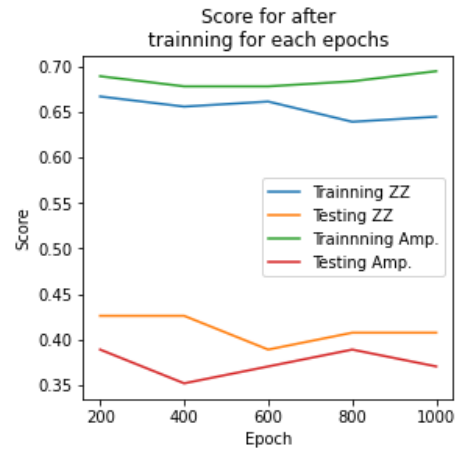
(b) Mean Squared Error Cost Function

Figure 8: Valores de acc para 4 *qubits*

9.3.2 Simulation With Noise



(a) Cross Entropy Cost Function



(b) Mean Squared Error Cost Function

Figure 9: Valores de acc para 2 *qubits*

10 Conclusion

Como podemos ver na secção anterior, a técnica de medição que utilizamos, bem como a *cost function* associada, não diferem muito uma da outra quando comparamos a *accuracy* de cada modelo, ver Figs. 6, 7 e 8, contudo o mesmo não pode ser dito sobre o encode escolhido.

Para dois e três *qubits*, obtemos claramente uma melhoria na classificação quando utilizamos a *ZZFeatureMap* como *encoding*, contudo isto deixa de ser verdade quando atingimos os 4 *qubits*, a partir dos 4 *qubits* a *ZZFeatureMap* diminui significativamente o seu desempenho, indo um bocado contra aquilo que esperávamos, pelo menos ao utilizar um simulador, que era obter melhor desempenho com o aumento do número *qubits*, devido ao aumento da dimensão do problema e também devido ao aumento do número de parâmetros variacionais (θ) cuja a sua combinação deveria resultar num modelo com mais expressividade, a única explicação que nos conseguimos encontrar para este fenómeno, tem a haver com a possibilidade de os nossos dados serem ou não linearmente separáveis, ou seja, é provável que para dois e três *qubits* a técnica de PCA, consiga de alguma forma torna os nossos dados linearmente separáveis, pelo menos parcialmente, contudo, o mesmo parece não acontecer quando aplicamos a regra de PCA para 4 *qubits*.

Por outro lado, o modelo em que recorremos ao *amplitude encoding* (com 4 *qubits*) originou melhores resultados que aquilo que nos esperávamos, nós acreditamos que o motivo pelo qual obtivemos maus resultados para dois e três *qubits* tem a ver com o facto de termos usado a técnica de PCA, acreditamos que de alguma forma, ao usar em conjunto com o *amplitude encoding* origina perdas

de informação inesperadas ou introdução de ruído no nosso sistema diminuindo a *performance* do mesmo.

Se compararmos os nossos resultados com os resultados em[5], podemos ver que o autor possui melhores resultados que nós, especialmente para o caso de 2 *qubits* onde a diferença é mais significativa (para o ZZFeatureMap), contudo, se compararmos os resultados para o caso em que usamos 4 *qubits* e *amplitude encoding* como encoding, podemos reparar que possuímos melhores resultados que o autor consegue para 3, para 2 os resultados são parecidos, mas os resultados do autor são ligeiramente melhores, apesar das diferenças óbvias entre os modelos, o autor apenas usa 2 e 3 *qubits* enquanto nós usamos 4, e os *data sets* em questão também são diferentes.

Após analisar os gráficos, tabelas e as matrizes de confusão, podemos facilmente ver que apenas para o *amplitude encode* com 4 *qubits* é que os resultados são coerentes, isto é, apenas para este caso é que a matriz de confusão e a tabela das *accuracy* batem certo, levando-nos a querer que para os outros modelos, o classificador não classificava com um grau de certeza significativo.

Nas simulações com ruído como seria de esperar temos um impacto significativo no desempenho do nosso modelo, o objetivo com esta simulação é tentar obter resultados que sejam o mais parecidos com os que obteríamos usando uma máquina real.

De uma forma geral, apesar de os resultados não serem os melhores, julgamos que o trabalho foi bem desenvolvido, infelizmente devido à nossa má gestão do tempo da nossa parte não conseguimos apresentar todos os resultados que pretendíamos, contudo, com os resultados que temos já é possível formular algumas hipóteses sobre o funcionamento do nosso modelo.

References

- [1] A Step-by-Step Explanation of Principal Component Analysis. <https://builtin.com/data-science/step-step-explanation-principal-component-analysis>. Accessed: 2022-04-14.
- [2] Maria Schuld and Francesco Petruccione. *Supervised learning with quantum computers*, volume 17. Springer, 2018.
- [3] Building a Quantum Variational Classifier Using Real-World Data. <https://medium.com/qiskit/building-a-quantum-variational-classifier-using-real-world-data-809c59eb17c2>. Accessed: 2022-04-09.
- [4] IBM Quantum Services quantum machines. <https://quantum-computing.ibm.com/services?services=systems>. Accessed: 2022-04-13.
- [5] Sevak Mardirosian. *Quantum-enhanced Supervised Learning with Variational Quantum Circuits*. PhD thesis, PhD thesis. Leiden University, 2019.
- [6] TorchRunTime. https://qiskit.org/documentation/machine-learning/tutorials/06_torch_runtime.html. Accessed: 2022-06-14.
- [7] IBM Quantum Services RunTime. <https://quantum-computing.ibm.com/services?services=runtime>. Accessed: 2022-06-13.
- [8] IBM Quantum Services System ibmq_manila. https://quantum-computing.ibm.com/services?services=systems&system=ibmq_manila. Accessed: 2022-06-13.
- [9] Wine Data Set red and white wine. <https://archive.ics.uci.edu/ml/datasets/Wine+Quality?spm=a2c4e.11153940.blogcont603256.15.333b1d6fY0si0K>. Accessed: 2022-04-13.
- [10] Red Wine vs White Wine: The Real Differences. <https://winefolly.com/tips/red-wine-vs-white-wine-the-real-differences/>. Accessed: 2022-04-10.